

05  
**Эффективная генерация аттоимпульсов при взаимодействии  
интенсивного лазерного излучения со сверхтонкими мишенями**

© А.А. Андреев<sup>1,2</sup>, К.Ю. Платонов<sup>3¶</sup>

<sup>1</sup> Санкт-Петербургский государственный университет,  
199034 Санкт-Петербург, Россия

<sup>2</sup> ФТИ им. А. Ф. Иоффе РАН,  
194021 Санкт-Петербург, Россия

<sup>3</sup> Санкт-Петербургский политехнический университет Петра Великого,  
195251 Санкт-Петербург, Россия

¶ e-mail: konstantin\_platonov@yahoo.com

Поступила в редакцию 28.04.2021 г.

В окончательной редакции 11.09.2021 г.

Принята к публикации 30.11.2021 г.

Определены параметры (толщина, электронная плотность) лазерной мишени в виде сверхтонкой фольги, обеспечивающие максимальный (~ 10%) коэффициент конверсии короткого релятивистски интенсивного лазерного импульса в последовательность нескольких когерентных аттоимпульсов. Найдены амплитуда, длительность аттоимпульса, определён коэффициент конверсии лазерной энергии в энергию аттоимпульсов и показана возможность его увеличения с помощью нескольких последовательно расположенных мишеней.

**Ключевые слова:** сверхмощный лазерный импульс, аттоимпульс, лазерная плазма, лазерная мишень.

DOI: 10.21883/OS.2022.06.52638.2231-21

## Введение

Лазерный импульс релятивистской ( $> 10^{18}$  W/cm<sup>2</sup>) интенсивности генерирует в мишени ток релятивистских электронов, которые в свою очередь генерируют когерентное и некогерентное вторичное излучение. Это излучение распределено по широкому интервалу частот (от исходного оптического до гамма-квантов) и обусловлено несколькими различными физическими механизмами его генерации. Для потенциального использования вторичного излучения важен случай, когда множество вторичных гармоник различных частот в пространственно-временном представлении собираются в последовательность ультракоротких ( $10^{-18}$  s) аттоимпульсов [1]. Такие импульсы являются единственным возможным инструментом для мгновенной рентгенографии и управления динамикой электронных волновых пакетов на субфемтосекундных (субатомных) временах [2], что позволяет исследовать временную динамику и управлять химическими и биологическими реакциями. Аттосекундные импульсы получаются при взаимодействии интенсивного лазерного излучения с твердотельными и газообразными мишенями и в идеальном случае должны иметь частотный спектр, близкий к прямоугольному, начиная от исходной лазерной частоты вплоть до частоты, соответствующей обратной длительности аттоимпульса. Соответственно из возможных физических механизмов генерации вторичного излучения для получения аттоимпульсов нужно выделить тот, который приводит к наиболее пологому частотному спектру излучения. Известны следующие механизмы излучения

быстрых электронов при их релятивистских осцилляциях в тонкой мишени:

1. Переходное излучение при пересечении электронами границы плазмы. Спектр излучения одиночного электрона [3] можно представить как квазистепенной спектр с показателем степени  $q = -3/2$ . Усреднение по разным (данные расчетов методом „частиц в ячейке“ — PIC-метод) энергетическим распределениям быстрых электронов показывает, что спектральный индекс переходного излучения ( $-q$ ) попадает в интервал от  $4/3$  до 2 (максвелловское распределение дает  $-q \sim 4/3$ ). Наклон спектра  $\sim \omega^{-4/3}$  невелик, однако переходное излучение некогерентно относительно числа быстрых электронов и подавлено относительно когерентных механизмов.

2. Тормозное излучение на ядрах мишени. Имеет пологий (не зависящий от частоты,  $q \sim 0$ ) спектр, но некогерентно как по числу быстрых электронов, так и ядер мишени. Соответственно тормозное излучение актуально для объяснения „подложки“ аттоимпульсов (рентгеновского фона), но уступает по интенсивности когерентным механизмам.

3. Когерентное „синхротронное“ излучение (CSE) [4] сгустков электронов в скин-слое лазерной плазмы. CSE ответственно за спектр отраженного от плазмы излучения и когерентно по числу быстрых электронов, что делает его основным по мощности каналом вторичного излучения. Спектр CSE имеет степенной вид  $\sim \omega^{-4/3}$  [4], как и спектр переходного излучения, но интенсивность CSE превосходит интенсивность переходного излучения на множитель, равный числу электронов в сгустке (т.е.

на порядки). Отметим, что в более ранних моделях CSE электронные сгустки „заменялись“ одной релятивистски осциллирующей плазменной границей [5], что приводило к более сильному падению спектра  $\sim \omega^{-8/3}$ . Поскольку CSE это основной когерентный канал вторичного излучения, аттоимпульсы, сформированные по механизму CSE, будут иметь максимальную интенсивность, и лазерный импульс будет эффективно конвертироваться в цуг аттоимпульсов.

В настоящей работе рассмотрено CSE для случая тонкой (единицы нанометров) мишени вблизи порога прозрачности. Известно, что в этом случае [6] энергия колебаний быстрых электронов возрастает по сравнению с вариантом более толстых мишеней. Это позволяет достичь более высокого коэффициента конверсии лазерного излучения в цуг аттоимпульсов. В отличие от случая CSE в толстых мишенях, рассмотренного ранее [4,7], где аналитически рассматривалась асимптотика спектра аттоимпульса в области высоких (много больше лазерной) частот, в случае тонкой мишени оказывается возможным построить полный спектр отражённого и прошедшего сквозь мишень излучения. В результате коэффициент конверсии определяется более точно, чем в [7], где полный спектр заменялся его высокочастотной асимптотикой во всём частотном диапазоне. В области высоких частот показатель спектра аттоимпульса тонкой мишени совпадает с [7,8]. Помимо уточнения интенсивности низких гармоник спектра, влияющих (определяющих) коэффициент конверсии, в настоящей работе проведена оптимизация толщины мишени, обеспечивающей максимум коэффициента конверсии в аттоимпульс при заданной лазерной интенсивности. Получена формула оптимальной толщины мишени как функции падающей интенсивности. Показано, что в оптимальном случае коэффициент конверсии в аттоимпульсы, распространяющиеся по направлению падающего излучения, меньше, чем в аттоимпульсы зеркального направления. Приведено объяснение этого явления несимметрией (вперёд-назад) колебаний электронов мишени в поле лазерного импульса. Для контроля аналитических вычислений проведено 1D и 2D PIC-моделирование спектров аттоимпульса и значений коэффициента конверсии, подтверждающее количественные закономерности модели. Отметим, что численное моделирование работы [9] демонстрировало появление одиночного аттоимпульса при отражении лазерного излучения от тонкой мишени. Однако отсутствие в этой работе аналитической модели и проведение расчетов с неоптимальными параметрами лазерного импульса и мишени привело к малым значениям коэффициента конверсии. В работах [10,11] методами численного моделирования проводился подбор толщины мишени для достижения максимума коэффициента конверсии при заданных параметрах лазерного импульса, но отсутствовали аналитическая модель и физическое объяснение полученных результатов. Предлагаемая работа является дальнейшим развитием идей работ [7–11] с целью построения аналитической модели

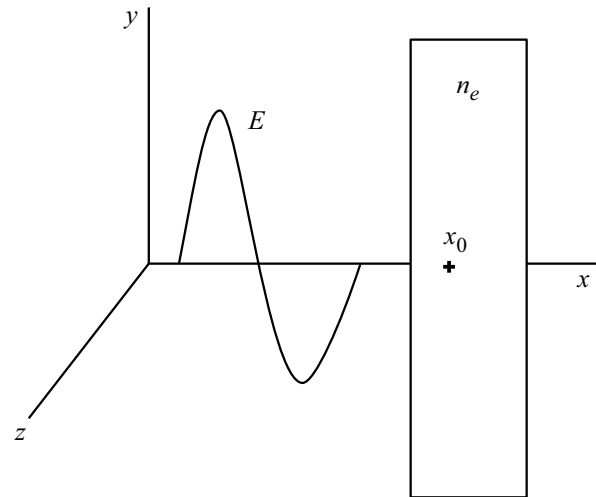


Рис. 1. Геометрия взаимодействия лазерного импульса с мишенью.

генерации аттоимпульсов одиночной или несколькими лазерными мишенями и увеличения на основе выводов модели коэффициента конверсии лазерного импульса заданной интенсивности и длительности в цуг аттоимпульсов.

## Динамика электронов в плазменной мишени конечной толщины

Рассмотрим падение линейно поляризованного лазерного импульса на плазменный слой конечной толщины (мишень). Представим плазменный слой состоящим из множества бесконечно тонких электронного и ионного слоёв. Движением ионов пренебрежем, считая длительность лазерного импульса короткой по сравнению с обратной ионной плазменной частотой. Диаметр лазерного пучка будем предполагать большим по сравнению с толщиной плазменного слоя и рассматривать задачу в одномерном приближении. Выберем ось  $x$  по нормали к мишени, ось  $y$  по направлению вектора поляризации импульса как показано на рис. 1.

Напишем уравнения динамики электронов мишени в самосогласованных электромагнитных полях. Одномерность задачи позволяет провести однократное интегрирование по начальному распределению зарядов в потенциалах Лиенара-Вихерта, определить электромагнитные поля слоя через законы движения электронов и написать в результате динамические уравнения, содержащие только внешнее поле, скорости и координаты электронов.

Компоненты электромагнитного поля плазменного слоя с начальным профилем плотности частиц  $n_e(x_0) = Zn_i(x_0)$  находятся с помощью функции Грина

одномерного волнового уравнения:

$$\begin{aligned}
 E_x(x, t) &= -2\pi e \int_{-\infty}^{\infty} n_e(x_0) \operatorname{sign}(x - s(t', x_0)) dx_0 \\
 &\quad + 2\pi e \int_{-\infty}^{\infty} n_i(x_0) \operatorname{sign}(x - x_0) dx_0, \\
 E_y(x, t) &= -2\pi e \int_{-\infty}^{\infty} n_e(x_0) \frac{v_y(t', x_0)/c}{1 - \operatorname{sign}(x - s(t', x_0))\dot{s}(t', x_0)/c} dx_0 \\
 &\quad - \frac{\partial A_y^{(\text{ext})}(x, t)}{c \partial t}, \\
 H_z(x, t) &= -2\pi e \int_{-\infty}^{\infty} n_e(x_0) \frac{\operatorname{sign}(x - s(t', x_0))v_y(t', x_0)/c}{1 - \operatorname{sign}(x - s(t', x_0))\dot{s}(t', x_0)/c} dx_0 \\
 &\quad - \frac{\partial A_y^{(\text{ext})}(x, t)}{\partial x}.
 \end{aligned} \tag{1}$$

В (1)  $s(t, x_0)$  — закон движения бесконечно тонкого электронного слоя с начальной координатой  $x_0$ ,  $A_{x,y}^{(\text{ext})}(x, t)$  — векторный потенциал внешнего (лазерного) поля,  $v_{x,y}(t, x_0)$  — проекции скорости электрона в тонком слое с начальной координатой  $x_0$ . Запаздывающее время  $t'(x, x_0, t)$  в (1) определяется из уравнения запаздывания:

$$t - t' - \frac{|x - s(t', x_0)|}{c} = 0.$$

Толщина мишени  $l_f$  входит в качестве параметра в начальный профиль плотности мишени  $n_i(x_0)$ .

Законы движения  $s(t, x_0)$ ,  $v_{x,y}(t, x_0)$  находятся из уравнений движения, в которых поля (1) берутся в точке нахождения электронного слоя  $x = s(t, x_0)$ , в результате чего получаются интегро-дифференциальные уравнения для функций  $s(t, x_0)$  и  $v_y(t, x_0)$ :

$$\begin{aligned}
 \frac{d}{dt} \frac{m_e v_y(t, x_0)}{\sqrt{1 - v_y^2/c^2 - \dot{s}^2(t, x_0)/c^2}} &= -2\pi e^2 \int_{-\infty}^{\infty} n_e(x'_0) \\
 &\quad \times \frac{v_y(t', x'_0)/c}{1 - \operatorname{sign}(s(t, x_0) - s(t', x'_0))\dot{s}(t', x'_0)/c} dx'_0 \\
 &\quad - \frac{\partial e A_y^{(\text{ext})}(s(t, x_0), t)}{c \partial t} + \frac{2\pi e^2 \dot{s}(t, x_0)}{c} \int_{-\infty}^{\infty} n_e(x'_0) \\
 &\quad \times \frac{\operatorname{sign}(s(t, x_0) - s(t', x'_0))v_y(t', x'_0)/c}{1 - \operatorname{sign}(s(t, x_0) - s(t', x'_0))\dot{s}(t', x'_0)/c} dx'_0 \\
 &\quad - \frac{\dot{s}(t, x_0)}{c} \frac{\partial e A_y^{(\text{ext})}(s(t, x_0), t)}{\partial x},
 \end{aligned}$$

$$\begin{aligned}
 &\frac{d}{dt} \frac{m_e \dot{s}(t, x_0)}{\sqrt{1 - v_y^2/c^2 - \dot{s}^2(t, x_0)/c^2}} \\
 &= -2\pi e^2 \int_{-\infty}^{\infty} n_e(x'_0) \operatorname{sign}(s(t, x_0) - s(t', x'_0)) dx'_0 \\
 &\quad + 2\pi e^2 \int_{-\infty}^{\infty} n_i(x'_0) \operatorname{sign}(s(t, x_0) - x'_0) dx'_0 \\
 &\quad - \frac{2\pi e^2 v_y(t, x_0)}{c} \int_{-\infty}^{\infty} n_e(x'_0) \\
 &\quad \times \frac{\operatorname{sign}(s(t, x_0) - s(t', x'_0))v_y(t', x'_0)/c}{1 - \operatorname{sign}(s(t, x_0) - s(t', x'_0))\dot{s}(t', x'_0)/c} dx'_0 \\
 &\quad + \frac{v_y(t, x_0)}{c} \frac{\partial e A_y^{(\text{ext})}(s(t, x_0), t)}{\partial x}.
 \end{aligned} \tag{2}$$

Уравнение запаздывания в системе (2) имеет вид

$$t - t' - \frac{|s(t, x_0) - s(t', x'_0)|}{c} = 0 \tag{3}$$

и приводит к зависимости запаздывающего времени  $t'(x_0, x'_0, t)$ . Слагаемые с интегралами по  $dx'_0$  в системе (2) описывают влияние тонких электронных слоев мишени друг на друга (самодействие). Отметим, что система (2) при аппроксимации интегралов суммами эквивалентна уравнениям динамики полей и квазичастиц бесстолкновительного 1D PIC-кода. Уравнения системы (2) описывают следующие физические процессы:

Второе (нижнее) уравнение описывает нелинейные колебания  $s(t, x_0)$  тонкого электронного слоя под действием силы пондеромоторного давления внешнего поля (последнее слагаемое в правой части), силы пондеромоторного давления рассеянного мишенью поля (третье слагаемое), силы продольного амбиполярного (кулоновского) поля ионов (второе слагаемое) и силы продольного амбиполярного поля соседних электронных слоев (первое слагаемое в правой части). Амбиполярное поле ионов имеет структуру потенциальной ямы, в которой происходят нелинейные колебания электронного слоя под действием силы пондеромоторного давления.

Первое уравнение системы является уравнением для поперечной скорости электронов, через которую, согласно (1), выражается рассеянное поперечное поле и поэтому эквивалентно уравнению для рассеянного мишенью поля. Аттоимпульс рассеянного поля возникает за счёт продольных релятивистских колебаний электронных слоёв в мишени. Движение с околосветовыми скоростями приводит за счёт эффекта Доплера к появлению высокочастотных гармоник рассеянного излучения, соответствующих появлению импульсов аттосекундной длительности. Коэффициент конверсии лазерного излучения в аттоимпульсы определяется амплитудой  $s(t, x_0)$  и скоростью  $\dot{s}(t, x_0)$  продольных нелинейных колебаний.

Конверсия максимальна при нелинейном резонансе между вынуждающей силой пондеромоторного давления и собственными колебаниями электронов в поле ионного остова. Соответственно основной целью настоящего исследования является определение параметров, при которых реализуется нелинейный резонанс и определение соответствующего ему коэффициента конверсии.

Система (2) упрощается в предельных случаях толстой ( $l_f \gg l_s$ ) и тонкой ( $l_f < l_s$ ) мишеней, где  $l_s$  — толщина скин-слоя. Случай полубесконечной  $l_f \rightarrow \infty$  мишени рассмотрен в работе [9]. В таком пределе достаточно рассмотреть движение (колебания) электронов в скин-слое на лицевой стороне мишени. Поперечное поле в этом случае представляет собой стоячую волну в вакууме и экспоненциально затухает в плазме. Потенциал ионов вблизи границы аппроксимируется параболическим потенциалом (гармонический осциллятор). Спектральная интенсивность вторичного излучения в такой модели найдена в работе [12]. Эффективность конверсии в аттоимпульс в этом случае далека от максимально возможной [7,8], так как полубесконечная плазма сильно экранирует лазерное поле на своей поверхности.

Случай тонкой (меньше или порядка толщины скин-слоя) мишени ранее рассматривался в [13], однако в [13] не учитывалось влияние поля ионного остова мишени на движение электронного слоя. Как будет показано ниже, резонанс между силами амбиполярного поля и пондеромоторного давления существенно увеличивает интенсивность аттоимпульса, поэтому вычисление параметров аттоимпульса и коэффициента конверсии с учетом влияния поля ионов актуально и является дальнейшим развитием работы [13]. Физической причиной увеличения конверсионной эффективности тонкой мишени является её меньшее экранирующее действие на лазерное поле, что увеличивает энергию и ток быстрых электронов и соответственно интенсивность вторичного излучения. Отметим, что приближение тонкой мишени подразумевает отсутствие предимпульса перед основным импульсом и резкий передний фронт (супергауссов продольный профиль) последнего. Получение высокого контраста (подавление предимпульса) в настоящее время осуществляется с помощью технологии „плазменного зеркала“, а методы увеличения крутизны переднего фронта рассмотрены в работе [14]. При использовании высококонтрастных импульсов с крутым фронтом тонкая мишень не успевает заметным образом разлететься на временном интервале первых нескольких лазерных периодов, и приведенные ниже решения системы (2) корректны.

В пределе бесконечно тонкой мишени законы движения  $s(t, x_0)$  и  $v_y(t, x_0)$  в (2) можно считать не зависящими от начальной координаты (все электронные слои мишени двигаются одинаково и  $x_0 = 0$  для всех

слоев). Тогда интегралы в (2) вычисляются:

$$e \int_{-\infty}^{\infty} n_e(x_0) dx_0 = en_e l_f = \sigma_e, \quad (4)$$

что приводит к зависимости решения (2) от безразмерного параметра  $\varepsilon_0 = \pi n_e l_f / n_c \lambda$ , а не отдельно от плотности  $n_e$  и толщины  $l_f$  плазменного слоя. В приближении тонкого слоя в (2) также несущественно запаздывание:  $t'(x_0 = 0, x'_0 = 0, t) = t$ . Функция  $\text{sign}(s(t, x_0 = 0) - s(t', x'_0)) = 0$ , таким образом, во втором уравнении (2) исчезает сила амбиполярного поля соседних электронных слоев и пондеромоторного давления рассеянного излучения. Интегро-дифференциальные уравнения (2) переходят в дифференциальные уравнения в полных производных и допускают решение и анализ. В нашей предыдущей работе [15] на основе этих дифференциальных уравнений рассматривалась динамика тонкой мишени, но спектр рассеянного излучения не вычислялся.

Противоположный предельный случай — это случай толстой, но отличной от полубесконечной [12] мишени. Отличием от модели [12] является в этом случае наличие двух границ мишени вместо одной. Численный анализ таких мишеней с помощью PIC-моделирования показывает, что увеличение толщины мишени приводит к ослаблению и деградации аттоимпульса. Поэтому ниже проведено исследование параметров аттоимпульса в пределе тонкой мишени и найдены условия, при которых расплыванием мишени и деградацией аттоимпульса можно пренебречь.

## Аналитическая модель генерации аттоимпульса в тонкой мишени

Для решения системы (2) в пределе тонкой мишени удобно ввести безразмерные переменные

$$a = |e|A_y / m_e c^2, \quad \tau = \omega t,$$

$$v_y(\tau, x_0 = 0) / c = u_y(\tau), \quad \omega s(\tau, x_0 = 0) / c = X(\tau),$$

$$\varepsilon_0 = \pi n_e l_f / n_c \lambda = \omega_p^2 l_f / 2\omega c, \quad \theta = \tau - X,$$

где  $\omega$  — частота лазерного излучения, новые неизвестные функции

$$p = \frac{u_y}{\sqrt{1 - u_y^2 - \dot{X}^2}}, \quad (5)$$

$$\Gamma = \frac{1 - \dot{X}}{\sqrt{1 - u_y^2 - \dot{X}^2}}$$

и новый аргумент  $\theta = \tau - X$ , представляющий собой фазу падающей электромагнитной волны. Величины (5) соответствуют законам сохранения одиночного ( $\varepsilon_0 = 0$ ) электрона в поле бегущей лазерной волны:  $\Gamma = \text{const}$ ,

$P = p - a_y^{(ext)(\theta)=const}$  при  $\varepsilon_0 = 0$ . В переменных (5) уравнения движения (2) в приближении слоя толщиной  $\varepsilon_0$  приобретают вид

$$\Gamma \frac{dp}{d\theta} = -\varepsilon_0 p + \Gamma \frac{da_y^{(ext)}(\theta)}{d\theta},$$

$$(\Gamma^2 + p^2 + 1) \left( \frac{d\Gamma}{d\theta} + \varepsilon_0 f_{am}(X) \right) = -2\varepsilon_0 p^2, \quad (6)$$

$$2\Gamma^2 \frac{dX}{d\theta} = 1 + p^2 - \Gamma^2,$$

где  $a_y^{(ext)}(\theta) = a_0 \sin(\theta) \exp(-(\theta)^4/2(\omega t_L)^4)$  — амплитуда падающего супергауссова лазерного импульса,

$$f_{am}(X) = \begin{cases} -X2c/\omega l_f, & |X| < \omega l_f/2c, \\ -\text{sign}(X), & |X| > \omega l_f/2c \end{cases} \quad (7)$$

— сила амбиполярного поля между электронным и ионным слоями. Потенциал, соответствующий силе (7) амбиполярного поля между тонкими слоями электронов и ионов, имеет вид потенциальной ямы, представляющей собой параболу (если смещение электронного слоя не превышает половины толщины ионного слоя), ветви которой переходят в наклонные прямые линии, когда ионный и электронный слои разделяются вакуумным промежутком  $|X(\theta)| > \omega l_f/2c$ . Уравнения (6) более удобны для решения, чем уравнения работы [15], так как не содержат релятивистских корней и являются полиномами не выше третьей степени относительно неизвестных функций и их производных. В частности, разложение системы (6) по гармоникам лазерной частоты осуществляется проще, чем разложение исходной системы [15]. Также отметим важное отличие уравнений (6) от [13] — наличие двух частот нелинейных колебаний: лазерной частоты (фиксированное значение) и частоты нелинейных колебаний электронов в амбиполярном поле (7) ионов (эта частота зависит от амплитуды колебаний). В работе [13] вторая частота отсутствует, и уравнения (6) рассматриваются в приближении  $X = 0, \dot{X} = 0$  (отсутствуют продольные колебания электронного слоя). В результате решение (6) в [13] представимо в виде ряда только по нечётным гармоникам лазерной частоты, и спектр вторичного излучения также состоит из совокупности нечетных гармоник. Как будет показано ниже, продольные колебания электронного слоя существенны, они могут быть релятивистскими (безразмерная скорость  $\dot{X} \sim 1$ ) и давать четные гармоники (гармоники пондеромоторной силы), не учтённые в работе [13]. Поскольку продольные колебания электронного слоя в амбиполярном поле ионов обладают собственной частотой, две несоизмеримые частоты приводят в общем случае к аперiodическим решениям (6) и квазинепрерывному спектру излучения. Наиболее важным моментом для исследования является нелинейный резонанс между колебаниями силы

пондеромоторного давления с удвоенной лазерной частотой и частотой продольных колебаний электронного слоя в потенциальной яме ионного остова. Продольная скорость при резонансе максимальна, что приводит к максимальному доплеровскому сдвигу вторичного излучения и генерации наиболее высоких частот из спектра аттоимпульса.

Таким образом, для получения параметров (в том числе спектра) аттоимпульсов необходимо решить систему (6), по формулам (1) в приближении тонкого слоя найти компоненты поперечного электромагнитного поля мишени и выполнить их анализ, в том числе исследовать спектр Фурье.

Система (6) не имеет аналитического решения при произвольном значении двух внешних параметров  $a_0, \varepsilon_0$  и интегрируется численно. Однако можно найти аналитические решения (6) в двух предельных случаях:  $a_0 < 1$  и  $\varepsilon_0 < 1$ . При  $a_0 < 1$  и произвольных  $\varepsilon_0$  (нерелятивистские скорости движения, малые смещения электронного слоя, отсутствие аттоимпульса) решение (6) имеет вид

$$u_y(\tau) = \frac{a_0}{1 + \varepsilon_0^2} \sin \tau + \frac{\varepsilon a_0}{1 + \varepsilon_0^2} (\cos \tau - e^{-\varepsilon_0 \tau}),$$

$$X(\tau) = \frac{\varepsilon_0 a_0^2}{2(1 + \varepsilon_0^2)\Omega^2} (1 - \cos \Omega \tau)$$

$$+ \frac{a_0^2}{2(1 + \varepsilon_0^2)(\Omega^2 - 4)} \sin 2\tau$$

$$+ \frac{\varepsilon_0 a_0^2}{2(1 + \varepsilon_0^2)(\Omega^2 - 4)} (\cos 2\tau - \cos \Omega \tau),$$

$$\Omega^2 = \omega_p^2/\omega^2, \quad |X(\tau)| \leq \omega l_f/2c. \quad (8)$$

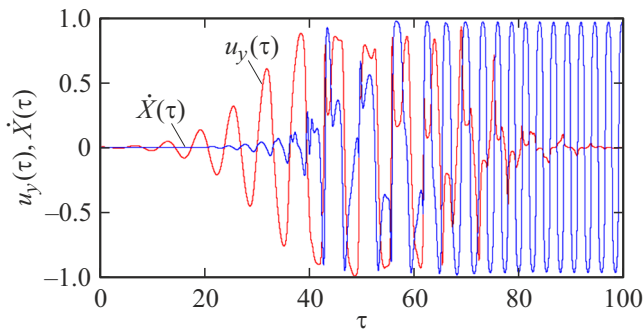
Из (8) видно, что при  $a_0 < 1$  поперечные колебания происходят на первой гармонике (на нечетных гармониках при дальнейшем разложении), а продольные — на второй (на четных гармониках при дальнейшем разложении). Также видно, что возбуждаются продольные колебания электронного слоя с двумя независимыми частотами: плазменной ( $\Omega$  в (8)) и удвоенной лазерной („2“ в (8) в аргументах тригонометрических функций). При  $\Omega = 2$  наступает резонанс между частотами — раскачка колебаний продольного слоя. При  $\varepsilon_0 < 1$  (толщина мишени стремится к нулю) аналитическое решение можно получить при произвольных  $a_0$ :

$$p(\theta) = a_0 \sin \theta + \varepsilon_0 a_0 (\cos \theta - e^{-\varepsilon_0 \theta}),$$

$$\Gamma(\theta) = 1 - \varepsilon_0 \int \frac{2a_0^2 \sin^2 \theta}{2 + a_0^2 \sin^2 \theta} d\theta$$

$$+ \frac{\Omega^2 a_0^2}{4} \int (\theta - (1/2) \sin 2\theta) d\theta = 1 - 2\varepsilon_0 \theta$$

$$+ \varepsilon_0 2\sqrt{2} \frac{\arctg(\text{tg}\theta \sqrt{1 + a_0^2/2})}{\sqrt{2 + a_0^2}} + \frac{\Omega^2 a_0^2}{8} \left( \theta^2 + \frac{\cos 2\theta}{2} \right), \quad (9)$$



**Рис. 2.** Продольная  $\dot{X}(\tau)$  (синяя кривая) и поперечная  $u_y(\tau)$  (красная кривая) скорости электронного слоя для параметров мишени и лазерного импульса  $\epsilon_0 = 6$ ;  $a_0 = 9$ . Длительность импульса — 12 периодов.

$$\dot{X}(\theta) = \frac{1 + p^2(\theta) - \Gamma^2(\theta)}{1 + p^2(\theta) + \Gamma^2(\theta)}, \quad u_y(\theta) = \frac{2p(\theta)\Gamma(\theta)}{1 + p^2(\theta) + \Gamma^2(\theta)}.$$

Решение (9) при  $a_0 \gg 1$  описывает улетающий от ионного остова электронный слой, совершающий продольные и поперечные колебания со скоростями

$$\dot{X}(\theta) \approx \frac{a_0^2 \sin^2 \theta}{2 + a_0^2 \sin^2 \theta}, \quad (10)$$

$$u_y(\theta) \approx \frac{2a_0 \sin \theta}{2 + a_0^2 \sin^2 \theta}.$$

Из (8), (10) следует, что в предельных случаях функции  $u_y(\tau)$ ,  $p(\theta)$  на больших,  $\tau > 1/\epsilon_0$ , временах содержат колебания только на первой гармонике (при дальнейшем разложении — на нечетных гармониках). Функции  $X(\tau)$ ,  $\Gamma(\theta)$  содержат колебания только на второй и нулевой гармониках (при дальнейшем разложении — на четных гармониках).

Численное решение при произвольных  $a_0$ ,  $\epsilon_0$  демонстрирует как осцилляции скоростей  $u_y$ ,  $\dot{X}$  на лазерных гармониках, так и появление новых комбинационных частот. Характерное численное (MCAD) решение (6) при  $\epsilon_0 = 6$ ,  $a_0 = 9$  приведено на рис. 2. На рис. 2 видно, что при воздействии импульса с крутым фронтом сначала возникают поперечные колебания электронного слоя, затем продольные. Скорости этих колебаний достигают релятивистских значений уже в первые периоды лазерного импульса. В максимуме импульса колебания нелинейны, аперiodичны, содержат высокочастотные гармоники. После окончания импульса продольные колебания сохраняются (система (6) не содержит диссипативных слагаемых).

Вычисления при той же лазерной интенсивности ( $a_0 = 9$ ) и более тонкой ( $\epsilon_0 = 9$ ), а также более толстой мишеней демонстрируют резонансную зависимость максимальной скорости продольных колебаний от параметра  $\epsilon_0$ : максимальные значения  $\dot{X}(\tau)$  при  $\epsilon_0 = 1$  и при  $\epsilon_0 = 9$  меньше, чем на рис. 2 при  $\epsilon_0 = 6$ . Ниже показано, что длительность и спектр аттоимпульса определяются

максимальным значением скорости продольных колебаний в направлении назад  $\dot{X}_{\max} = \beta(a_0, \epsilon_0)$ .

Для отдельного электрона  $\beta(a_0, \epsilon_0 = 0) = a_0^2 / (2 + a_0^2)$ , его скорость направлена вперед (10). Максимум функции  $\beta(a_0, \epsilon_0)$  связан с нелинейным резонансом продольных сил, воздействующих на электронный слой. Закон движения  $X(\tau)$  и продольная скорость  $\dot{X}(\tau)$  определяются вторым уравнением систем (2), (6). Это уравнение при больших амплитудах колебаний,  $|X(\tau)| > \omega l_f / 2c$ , описывает колебания электрона в потенциальном поле  $U(x) = 2\pi e^2 n_e l_f |x|$  тонкого ионного остова (слагаемое  $\sim f_{\text{am}}$  в (2)) под действием силы пондеромоторного давления  $u_y \frac{\partial a_y^{(\text{ext})}(X(\tau), \tau)}{\partial X(\tau)}$ , осциллирующей с частотой  $2\omega$ . В отсутствие лазерного поля ( $a_y^{(\text{ext})} = 0$ ,  $u_y = 0$ ) второе уравнение систем (2), (6) описывает релятивистские нелинейные колебания в потенциале  $U(x) = 2\pi e^2 n_e l_f |x|$ .

Из (6) при  $a_y^{(\text{ext})} = 0$ ,  $u_y = 0$  легко найти частоту этих колебаний как функцию максимальной скорости  $\beta(a_0, \epsilon_0)$ :

$$\Omega_U(a_0, \epsilon_0) = \frac{\pi}{2} \epsilon_0 \omega \sqrt{\frac{1 - \beta^2(a_0, \epsilon_0)}{\beta^2(a_0, \epsilon_0)}}. \quad (11)$$

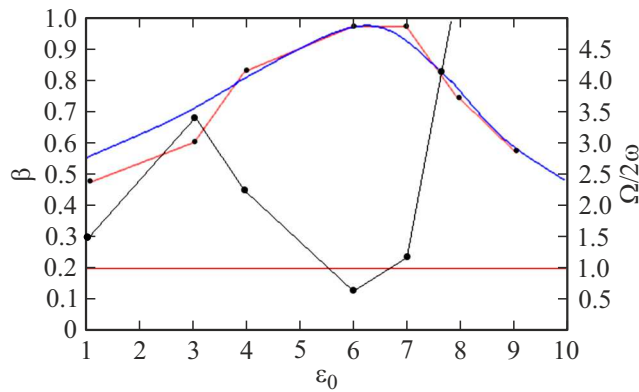
Отметим, что при уменьшении амплитуды колебаний,  $|X(\tau)| < \omega l_f / 2c$ , частота (11) переходит в частоту плазменных колебаний  $\Omega_U \rightarrow \Omega$ . На рис. 3 красной ломаной линией приведена зависимость  $\beta(\epsilon_0)$ , следующая из численного решения системы (6) при  $a_0 = 9$ . Видно, что при  $\epsilon_0 \sim 6-7$  имеется локальный максимум скорости продольных колебаний электронного слоя. На рис. 3 ломаной черной и горизонтальной красной линиями показано, что диапазон  $\epsilon_0 \sim 6-7$  соответствует совпадению частот — нелинейному резонансу ( $\Omega_U \approx 2\omega$ ) между двумя силами во втором уравнении системы (6). Таким образом, при малых ( $\epsilon_0 \ll 1$ ) и больших  $\epsilon_0$  закон движения электрона содержит колебания с сильно различающимися частотами,  $\Omega_U \ll 2\omega$  и  $\Omega_U \gg 2\omega$ . В резонансе частоты сравниваются. Для достижения максимальной конверсии лазерного импульса в аттоимпульс нужны максимальные амплитуды скорости продольных колебаний электрона  $\dot{X}_{\max} \rightarrow 1$ , т.е. резонансный случай оптимален. Основная гармоника колебаний при резонансе имеет частоту  $2\omega$ , а колебания поперечной скорости  $u_y(\tau)$  в соответствии с (6) — частоту  $\omega$ .

Таким образом, основные закономерности спектра аттоимпульса должны воспроизводиться для закона движения электронного слоя (решения системы (5)):

$$X(\tau) = X_0 + \frac{\beta(a_0, \epsilon_0)}{2} \sin 2\tau, \quad \beta \rightarrow 1,$$

$$u_y(\tau) = u_{0y} \sin(\tau + \delta), \quad u_{0y} = \sqrt{1 - \beta^2 + (\pi/2 - \delta)^2},$$

$$\beta(a_0, \epsilon_0) = \frac{(\epsilon_0^2 + 1)a_0^2}{2 + (\epsilon_0^2 + 1)a_0^2 + 0.4\epsilon_0^4 a_0}. \quad (12)$$



**Рис. 3.** Зависимость максимальной скорости  $\beta(\epsilon_0; a_0 = 9)$  продольных колебаний тонкой мишени (скорость направлена назад) от толщины мишени  $\epsilon_0$ . Красная ломаная линия — численное (MCAD) решение (6), синяя — аппроксимация выражением (12). Черная ломаная линия — зависимость отношения частот  $\Omega_U/2\omega$  (частоты колебаний электронов в поле ионного остова и частоты пондеромоторной силы) от  $\epsilon_0$  при  $a_0 = 9$ . Горизонтальная красная линия отвечает совпадению частот — резонансу пондеромоторной и амбиполярной сил.

Аналитическое выражение для  $\beta(a_0, \epsilon_0)$  показано на рис. 3. Подчеркнем, что (12) не является строгим решением исходных уравнений (6), а лишь качественно соответствует ему, если максимальное значение скорости  $\beta(a_0, \epsilon_0)$  продольных колебаний совпадает с численным решением (6) (синяя и красные кривые на рис. 3). В частности, в (12) отсутствуют видимые на рис. 2 высокочастотные гармоники продольной и поперечной скоростей. Высокочастотные гармоники полей (1) при этом не потеряются, так как скорости в (12) — ультра-релятивистские.

Используя (12) для нахождения фурье-спектра компоненты  $E_y$  электрического поля (1) (магнитное поле отличается только знаком и имеет такой же спектр):

$$\frac{eE_y(X, \sigma)}{mc} = -\epsilon_0 \int_{-\infty}^{\infty} u_y(\tau) e^{i\frac{\sigma}{\omega}(\tau + |X - X(\tau)|)} d\tau, \quad (13)$$

можно вычислить спектральное распределение энергии излучения на единицу площади:

$$\frac{d\epsilon}{d\varpi} = c|E_y(x, \varpi)|^2. \quad (14)$$

Координата  $X$ , как видно из (13), не войдет в спектр (14). Однако спектр будет зависеть от знака  $X$  (лицевая и тыльная стороны мишени). При целом  $n = \varpi/\omega$  формула (14) даёт интенсивность  $n$ -й гармоники лазерного излучения.

Подстановка (12) в (13), (14) приводит к аналитической формуле для спектра энергии аттоимпульса:

$$\frac{d\epsilon}{d\varpi} = \frac{c(en_e l_f)^2}{\omega^2} u_{oy}^2 \left( \cos^2 \delta \left[ J_{\frac{n-1}{2}} \left( \frac{n\beta}{2} \right) - J_{\frac{n+1}{2}} \left( \frac{n\beta}{2} \right) \right]^2 + \sin^2 \delta \left[ J_{\frac{n-1}{2}} \left( \frac{n\beta}{2} \right) + J_{\frac{n+1}{2}} \left( \frac{n\beta}{2} \right) \right]^2 \right), \quad n = \varpi/\omega. \quad (15)$$

Безразмерный спектр (15)

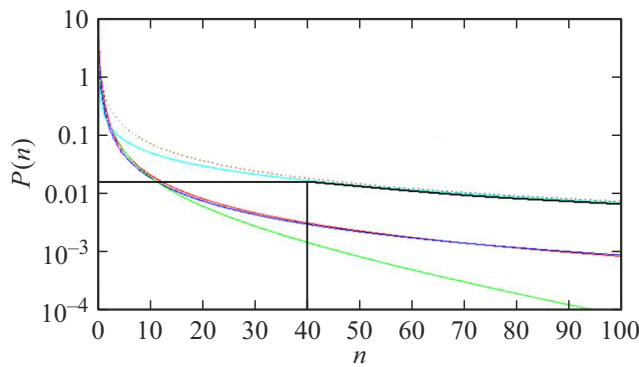
$$P(n) = \left( \frac{d\epsilon}{d\varpi} \right) / \left( \frac{c(en_e l_f)^2}{\omega^2} u_{oy}^2 \right)$$

при разных  $\beta(a_0 \epsilon_0)$  приведён на рис. 4. Сравнение аналитического спектра, построенного по формулам (15), (12), с аналитическим спектром, полученным подстановкой в общие формулы (13), (14) законов движения мишени  $X(\tau)$ ,  $u_y(\tau)$  полученных численным (с помощью MCAD) интегрированием системы (6), показало, что аппроксимации (12) достаточно для вычисления спектра излучения в окрестности точки резонанса между пондеромоторной и амбиполярной силами. Формула (15) также хорошо согласуется со спектром излучения, найденным при тех же параметрах численным моделированием 1D по коду LPIC. Таким образом, приближения, сделанные при выводе уравнений движения (6) и их „решений“ (12), корректны, и полученные спектры соответствуют спектрам численных расчетов. Отметим, что аналитический (15) и численный спектры излучения мишени содержат нулевую гармонику  $n = 0$ . Это означает униполярность (наличие отличной от нуля средней по времени компоненты поля [16]) отраженного и прошедшего сквозь мишень электромагнитного импульсов. Униполярная ( $n = 0$ ) составляющая имеет временную длительность порядка длительности лазерного импульса и не вносит вклад в аттосекундный импульс. Также отметим, что  $P(n = 0) \rightarrow \infty$ , что связано с бесконечным интервалом интегрирования по времени в (13). При интегрировании по времени действия лазерного импульса величина  $P(n = 0)$  конечна. Для остальных гармоник  $P(n)$  не зависит от длительности лазерного импульса при большом числе его периодов.

Найдём высокочастотную асимптотику (15) при  $n \rightarrow \infty$ ,  $\delta = 0$ . Для этого нужно воспользоваться асимптотикой функций Бесселя при  $n \gg 1$ :

$$J_{\frac{n-1}{2}} \left( \frac{n\beta}{2} \right) = J_{\frac{n-1}{2}} \left( \frac{(n-1)}{2} \beta \left( 1 + \frac{1}{n-1} \right) \right) \xrightarrow{n \gg 1} \frac{1}{\sqrt{\pi}} \left( \frac{4}{n-1} \right)^{1/3} Ai \left( \left( \frac{n-1}{4} \right)^{2/3} \left( 1 - \beta^2 \left( 1 + \frac{1}{n-1} \right) \right)^2 \right). \quad (16)$$

При больших аргументы двух функций Эйри от асимптотик  $J_{\frac{n-1}{2}}$ ,  $J_{\frac{n+1}{2}}$  близки, поэтому разность этих функций в (15) раскладывается в ряд Тейлора. В результате в интервале частот  $n^{2/3}(1 - \beta) \ll 1$  разность



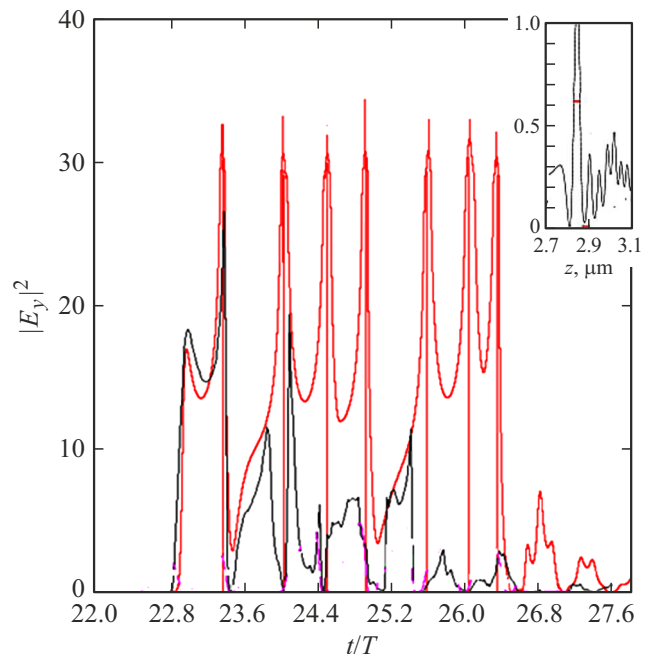
**Рис. 4.** Аналитический спектр, учитывающий только основные гармоники в законах движения при разных значениях максимальной скорости. Бирюзовая линия  $\beta = 0.98$ ,  $\delta = \pi/2$ , пунктир — асимптотика  $P(n) \approx 0.72/n$ . Красная линия  $\beta = 0.98$ ,  $\delta = 0$ , синяя линия — асимптотика  $P(n) \approx 0.4n^{-4/3}$ . Зеленая линия  $\beta = 0.9$ ,  $\delta = 0$ ,  $n$  — номер гармоники, шкала ординат в единицах  $P(n) = (d\varepsilon/d\varpi)/(c(en_e I_f)^2 u_{0y}^2/\omega^2)$ .

$(J_{\frac{n-1}{2}} - J_{\frac{n+1}{2}}) \sim n^{-2/3}$ , а выражение (15)  $\sim n^{-4/3}$ . При  $n^{2/3}(1-\beta) > 1$  спектр (15) экспоненциально затухает с ростом  $n$ . Асимптотика спектра  $\sim \varpi^{-4/3}$  при  $n^{2/3}(1-\beta) \ll 1$  и  $\beta \rightarrow 1$  соответствует работе [8].

Асимптотика  $0.4n^{-4/3}$  для спектра (15) приведена на рис. 4 синей линией. Видно, что она описывает спектр (15) при  $\beta \rightarrow 1$ ,  $\delta = 0$ . Сравнение рис. 4 с результатами численного моделирования по коду LPIC показывает, что формула (15) правильно описывает спектр и его изменение при приближении к точке максимума конверсии при  $\delta = 0$ . При этом параметр  $\beta(a_0, \varepsilon)$  нужно брать из решения системы (6). Вид функции  $\beta(a_0 = 0, \varepsilon_0)$  приведен на рис. 3. Отметим, что при  $\delta = \pi/2$  спектр получается более пологим (голубая кривая на рис. 4) и имеет асимптотику  $0.7n^{-1}$ . Однако случай  $\delta = \pi/2$  соответствует толстым мишеням и не оптимален с точки зрения конверсии в аттоимпульсы.

Электрическое поле  $E_y$  (квадрат модуля) аттоимпульсов во временном представлении (1), найденное с помощью численного решения (5) в программе MCAD, имеет вид, приведённый красным цветом на рис. 5. Пики красной кривой на рис. 5 это и есть аттоимпульсы отражённого от мишени излучения. Они следуют с периодом, близким к половине периода лазерного импульса (период силы пондеромоторного давления). Число аттоимпульсов равно удвоенному числу периодов лазерного импульса (пондеромоторная сила осциллирует с удвоенной лазерной частотой). На рис. 5 видно, что период следования аттоимпульсов не постоянен: временной интервал между ними меняется. Сбои (изменения) периода максимальны при оптимальном параметре  $\varepsilon_0$ , когда возникают биения при нелинейном резонансе между пондеромоторным давлением и силой амбиполярного поля. В увеличенном масштабе поле отдельного аттоимпульса показано на вкладке рис. 5 и име-

ет характерную длительность  $\tau_a \approx 2^{1/2}\pi(1-\beta)^{3/2}/\omega$ , где  $\beta(a_0, \varepsilon_0)$  — максимальная скорость (вперёд или назад, в единицах  $c$ ) электронного слоя, где рассматриваются аттоимпульсы. Оценка длительности следует из асимптотики спектра (16) и свойств функции Эйри, экспоненциально убывающей, если её аргумент  $((n-1)/4)^{2/3}(1-\beta^2(1+1/(n-1))^2) > 1$ . При  $n = \varpi^*/\omega \gg 1$  и  $\beta \approx 1$  частота „обрыва“ спектра составляет  $\varpi^* \sim 2^{1/2}\omega/(1-\beta)^{3/2}$ , что соответствует указанной выше характерной длительности аттоимпульса. Амплитуда поля аттоимпульса (высота пика на рис. 5) составляет  $2\pi\sigma_e/(1-\beta(a_0, \varepsilon_0))$ , что следует из формулы (1). Результаты численного PIC-расчёта, приведенные на рис. 5 черной линией, при тех же параметрах лазера и мишени показывают, что приближение тонкой мишени справедливо для нескольких первых периодов импульса. Дальше аттоимпульс в LPIC-расчёте исчезает, а в модели остается. Анализ электронной плотности мишени в LPIC-расчёте показывает, что деградация аттоимпульса происходит из-за её размытия и превращения тонкого электронного слоя в облако электронов. Другими словами, небольшой разброс по начальным координатам электронов (в пределах начальной толщины мишени) из-за быстрого разбегания фазовых траекторий отдельных частиц приводит к значительному (в десятки раз) разбросу координат электронов через несколько периодов. Поэтому во второй половине импульса длительностью восемь



**Рис. 5.** Квадрат модуля безразмерного  $(eE_y/m_e\omega c)$  электрического поля (1) аттоимпульсов во временном представлении для аттоимпульсов, идущих назад, при  $a_0 = 9$ ,  $\varepsilon_0 = 4$ . Расчёт проведён для  $a_0 = 9$ ,  $\varepsilon_0 = 4$  и гауссова падающего импульса длительностью 8 периодов. Красный цвет — модель тонкой мишени, черный — расчёт LPIC. На вкладке красным отрезком показана пространственная длительность (в  $\mu\text{m}$ ) одиночного аттоимпульса с амплитудой, нормированной на единицу.



периодов приближение модели тонкой мишени не работает, расплывшаяся мишень перестает генерировать собственно аттоимпульс (рис. 5), хотя высокочастотные гармоники присутствуют в спектре отражённого излучения. Уменьшая длительность импульса до  $\sim 4-5$  периодов, можно избежать деградации аттоимпульса и увеличить коэффициент конверсии. Как будет показано ниже, увеличить коэффициент конверсии „длинного“ (более четырех периодов) импульса можно за счет нескольких последовательно расположенных мишеней.

### Коэффициент конверсии лазерного импульса в аттоимпульс

Рассмотрим последовательность аттоимпульсов гауссовой формы и заданной длительности  $\tau_a$  (рис. 5):

$$E_y(t) = \sum_{i=1}^N C_i \exp\left(-\frac{(t-t_i)^2}{\tau_a^2}\right), \quad \tau_a \ll t_i - t_{i-1}. \quad (17)$$

Фурье-спектр такой последовательности

$$E_y(\varpi) = \tau_a \sqrt{\pi} \exp\left(-\frac{(\varpi\tau_a)^2}{4}\right) \sum_{i=1}^N C_i e^{i\varpi t_i}. \quad (18)$$

Если аттоимпульсы имеют одинаковую амплитуду  $C$  и следуют с регулярным периодом  $T$ , то коэффициент перед гауссовой экспонентой в (18) приводит только к модуляции спектра гармониками периода:

$$\begin{aligned} \sum_{i=1}^N C_i e^{i\varpi t_i} &= C \frac{e^{i\varpi NT} - 1}{e^{i\varpi T} - 1}, \quad \left| C \frac{e^{i\varpi NT} - 1}{e^{i\varpi T} - 1} \right|^2 \\ &= |C|^2 \frac{\sin^2 \varpi NT/2}{\sin^2 \varpi T/2} \rightarrow \pi N |C|^2 \sum_{n=0}^{\infty} \delta(\varpi T/2 - n\pi). \end{aligned} \quad (19)$$

Характерная форма (обрыв огибающей спектра на высоких частотах) определяется только гауссовой экспонентой в полном спектре аттоимпульсов:

$$\begin{aligned} \frac{d\varepsilon}{d\varpi} &= c |E_y(\varpi)|^2 \\ &= c\pi^2 N |C|^2 \tau_a^2 \exp\left(-\frac{(\varpi\tau_a)^2}{2}\right) \sum_{n=0}^{\infty} \delta(\varpi T/2 - n\pi). \end{aligned} \quad (20)$$

Интеграл спектра (20) по всем частотам (энергия аттоимпульсов) имеет вид

$$\begin{aligned} &\sum_{n=0}^{\infty} c\pi^2 N |C|^2 \tau_a^2 \exp\left(-\frac{(2\pi n\tau_a/T)^2}{2}\right) \\ &= c\pi N |C|^2 \tau_a \sqrt{\pi/2} = c\pi^2 N |C|^2 \tau_a^2 \varpi^* \exp\left(-\frac{(\varpi^* \tau_a)^2}{2}\right) \\ &= \varpi^2 \frac{d\varepsilon}{d\varpi^*}, \quad \varpi^* = \frac{0.37}{\tau_a} \sqrt{\pi/2} \end{aligned} \quad (21)$$

и совпадает с площадью прямоугольника высотой  $\frac{d\varepsilon}{d\varpi^*}$  (имеется в виду огибающая спектра) и шириной  $\varpi^*$ , где  $\varpi^* = \frac{0.37}{\tau_a} \sqrt{\pi/2}$ . Определим коэффициент конверсии  $\kappa$  в аттоимпульс как отношение энергии (21) к полной энергии лазерного импульса:

$$\begin{aligned} \kappa &= \frac{\varpi^* \frac{d\varepsilon}{d\varpi^*}}{\sqrt{\pi} c E_0^2 t_L / 8\pi} \\ &= \frac{8\pi^{1/2} \varepsilon_0^2 \varpi^*}{a_0^2 \omega t_L} \left| \int_{-\infty}^{\infty} u_y(\tau) e^{i\frac{\varpi^*}{\omega}(\tau+|X-X(\tau)|)} d\tau \right|^2, \end{aligned} \quad (22)$$

где частота  $\varpi^* = \tau_a^{-1} \sqrt{\pi/2}$ . Коэффициент (22) демонстрирует максимум по  $\varepsilon_0$  и для нормального падения имеет величину, сравнимую с коэффициентом конверсии [7], который введен другим способом — это энергия всех частот, начиная с заданной нижней граничной частоты аттоимпульса  $\varpi^*$ :

$$\begin{aligned} \kappa_R &= \frac{\int_{\varpi^*}^{\infty} \frac{d\varepsilon}{d\varpi} d\varpi}{\sqrt{\pi} c E_0^2 t_L / 8\pi} = \frac{8\pi^{1/2} \varepsilon_0^2}{a_0^2 \omega t_L} \int_{\varpi^*/\omega}^{\omega} d(\varpi/\omega) \\ &\times \left| \int_{-\infty}^{\infty} u_y(\tau) e^{i\frac{\varpi}{\omega}(\tau+|X-X(\tau)|)} d\tau \right|^2. \end{aligned} \quad (23)$$

Оба коэффициента (22), (23) могут быть найдены как аналитически через уравнения движения (6), так и с помощью полученных численно (PIC-моделирование) спектров вторичного излучения. По спектру (15) при  $\delta = 0$  можно привести аналитическую формулу для используемого нами коэффициента конверсии:

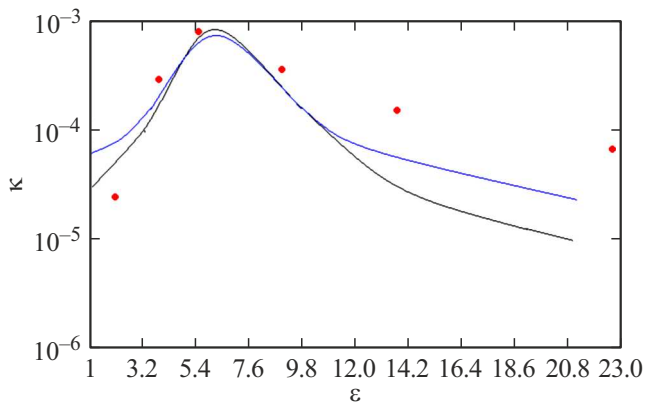
$$\begin{aligned} \kappa(a_0, \varepsilon_0) &= \\ &= \frac{\frac{c(\varepsilon_0 t_L)^2}{\omega^2} u_{oy}^2 n^* \left[ J_{\frac{n^*}{2}-1} \left( \frac{n^* \beta(a_0, \varepsilon_0)}{2} \right) - J_{\frac{n^*}{2}+1} \left( \frac{n^* \beta(a_0, \varepsilon_0)}{2} \right) \right]^2}{\sqrt{\pi} c E_0^2 t_L / 8\pi}, \end{aligned} \quad (24)$$

$$n^* = (\tau_a \omega)^{-1} \sqrt{\pi/2},$$

$$\beta(a_0, \varepsilon_0) = \frac{(\varepsilon_0^2 + 1) a_0^2}{2 + (\varepsilon_0^2 + 1) a_0^2 + 0.4 \varepsilon_0^4 a_0^1}.$$

Геометрически коэффициент (22) представляет собой площадь прямоугольника (выделен черным цветом на рис. 4), а коэффициент (23) — площадь под „хвостом“ спектра (также выделена черным цветом на рис. 4), нормированные на полную энергию лазерного импульса.

На рис. 4 черным прямоугольником обозначен коэффициент конверсии (22) в аттоимпульс 40-й гармоники ( $\tau_a = 2\pi/40\omega$ ). Значение коэффициента конверсии на рис. 4  $\kappa \approx 10^{-3}$ . Коэффициент конверсии (23) в „хвост“ спектра выше 40-й гармоники составляет при этом  $\kappa_R \approx 7 \cdot 10^{-4}$ . Таким образом, различные определения (22), (23) коэффициента конверсии дают значения,



**Рис. 6.** Коэффициент конверсии „назад“ как функция параметра  $\varepsilon_0$ . Оранжевые кружки — 1D-расчет при  $a_0 = 9$ . Черная линия — формула (24), синяя линия — формула (22) и MCAD-расчет для функций  $X(\tau)$ ,  $u_y(\tau)$ .

сравнимые по порядку величины. По нашему мнению, определение (22) в большей степени соответствует физическому смыслу — выделение спектра аттоимпульса („прямоугольник“ на рис. 4) в общем спектре отраженного или прошедшего излучения.

Коэффициент (22) может быть отдельно рассмотрен перед мишенью (отраженные назад аттоимпульсы) и за мишенью (прошедшие аттоимпульсы). При заданной лазерной интенсивности (параметр  $a_0$ ) коэффициент (22) имеет максимум по  $\varepsilon_0$  при прочих фиксированных параметрах задачи. Максимум конверсии соответствует нелинейному резонансу в уравнениях движения (6) аналитической модели.

Отметим, что коэффициент (23), введенный в [7], определяет конверсию в жесткую часть спектра, но при этом сам спектр может не соответствовать аттоимпульсу. Например, в толстых мишенях коэффициент конверсии (23) может быть значителен, но поле гармоник не собирается в аттоимпульс, а представляет собой пилообразные колебания, высокочастотная составляющая которых связана с большим углом наклона „зубцов“ пилы.

На рис. 6 приведена найденная по формуле (24) зависимость коэффициента конверсии в отраженный назад аттоимпульс от  $\varepsilon_0$  для  $a_0 = 9$ ,  $\varpi^*/\omega = 40$  и лазерного импульса с прямоугольным временным профилем длительностью 12 периодов. Максимальное значение коэффициента конверсии при расчете по формуле (24) при  $a_0 = 9$  составляет  $8 \cdot 10^{-4}$ . Отметим, что в прошедшем сквозь мишень излучении коэффициент конверсии в аттоимпульс составляет всего  $2.3 \cdot 10^{-5}$  (формула для коэффициента конверсии в прошедший аттоимпульс получается заменой  $\tau + |X - X(\tau)| \rightarrow \tau - |X - X(\tau)|$  в показателе экспоненты в (22)). Для проверки полученных результатов при тех же параметрах лазерного импульса были проведены расчеты 1D по коду LPIC [17]

с различными значениями  $\varepsilon_0$ , результат которых также представлен на рис. 6 (оранжевые кружки).

Из рис.6 видно, что модель воспроизводит 1D-расчеты по нахождению значения  $\varepsilon_0$ , оптимального для достижения максимальной конверсии в спектр аттоимпульса. Максимальная амплитуда спектра аттоимпульса для  $a_0 = 0$  реализуется при  $\varepsilon_0 \sim 6$ , причем для прохождения максимума конверсии в модели нужны небольшие изменения параметра  $\varepsilon_0$ :  $9 \rightarrow 6 \rightarrow 4$ . Отметим, что максимум коэффициента конверсии по толщине мишени был найден численно в работах [9,10] с помощью PIC-кода EPOCH. В расчетах [10] максимум конверсии соответствовал безразмерному параметру  $n_e d / n_{cr} \lambda a_0 = 0.2$ . В максимуме рис. 6 этот параметр  $n_e d / n_{cr} \lambda a_0 = \varepsilon_0 / \pi a_0 = 6 / 9\pi \approx 0.2$ . Таким образом, построенная модель (22) коэффициента конверсии соответствует 1D PIC-расчетам работ [9,10].

1D-расчет и модель (6), (22) в области оптимального  $\varepsilon_0$  дают существенное (на порядок) превышение коэффициента конверсии „назад“ по сравнению с конверсией „вперед“. Это связано с большей скоростью колебаний электронного слоя при движении назад, чем при движении вперед и соответственно к подавлению аттоимпульса, генерируемого вперед. Отметим, что в численном моделировании [18] отраженный назад аттоимпульс также имел большую интенсивность и меньшую длительность. Также отметим, что аппроксимация (12) решений системы (6) не учитывает различие между колебаниями „вперед-назад“ и не может быть использована для расчета параметров прошедшего аттоимпульса (необходимо численное интегрирование (6)).

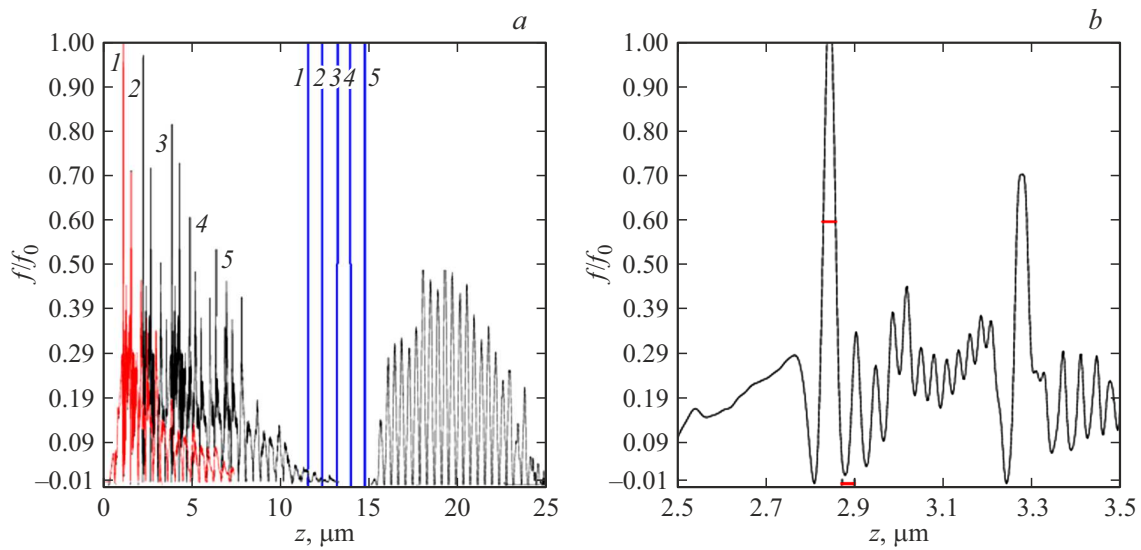
Количество жестких квантов в аттоимпульсе можно оценить как

$$N_\gamma \approx \frac{\kappa \varepsilon_L (1 - \beta^2)^{3/2}}{\hbar \omega} = N_L \kappa (1 - \beta^2)^{3/2}. \quad (25)$$

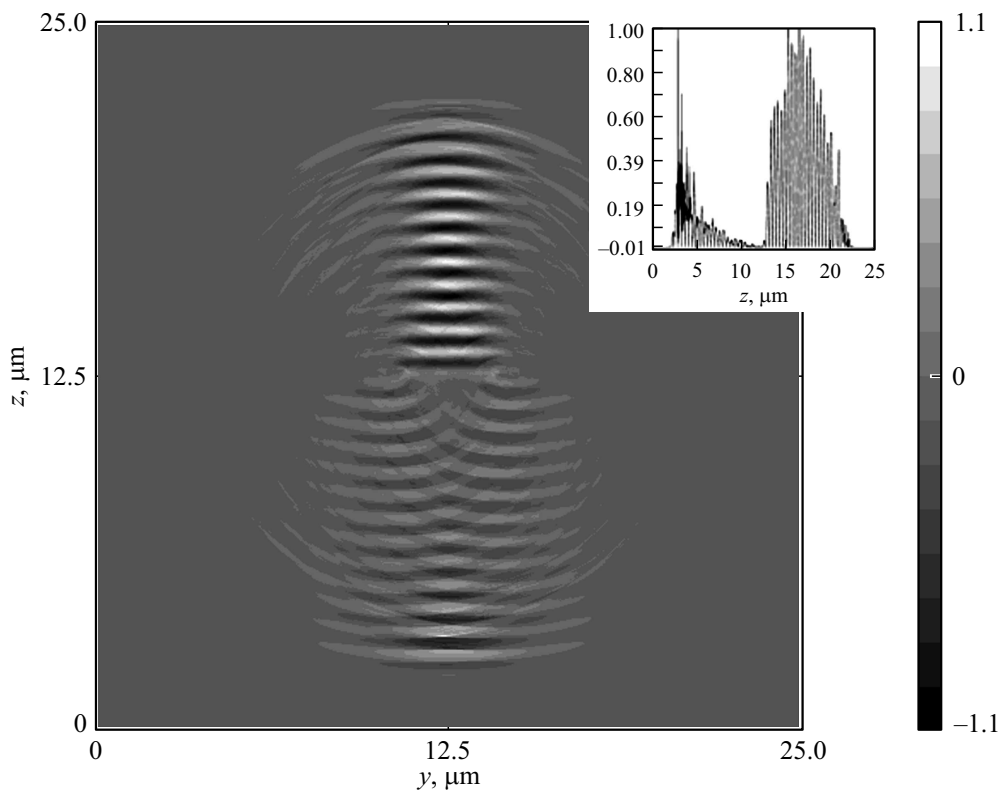
Как видно из (25), коэффициент конверсии по числу квантов  $N_\gamma / N_L$  отличается от коэффициента конверсии по энергии множителем  $(1 - \beta^2)^{3/2}$ . Исследование функции  $\kappa(\varepsilon_0)(1 - \beta^2(\varepsilon_0))^{3/2}$  показывает, что её максимум расположен при том же значении  $\varepsilon_0$ , что и максимум функций  $\kappa(\varepsilon_0)$ ,  $\beta(\varepsilon_0)$ , и зависимость  $N_\gamma(\varepsilon_0)$  имеет вид, аналогичный рис. 6.

## 2D PIC-расчет аттоимпульса

Для тонких (десятки нанометров) мишеней одномерное приближение выполняется хорошо, так как отношение толщины мишени к диаметру лазерного пучка очень мало. Для иллюстрации корректности 1D-расчета был проведен 2D-расчет по коду [19]. Параметры 2D-расчета такие же, как в 1D-расчете:  $a_0 = 9$ ,  $\varepsilon_0 = 4$ . Диаметр лазерного пятна  $d_L = 3.2 \mu\text{m}$  (4 длины волны), длительность импульса 33 fs. На рис. 7, а показан квадрат напряженности поля (интенсивность) отраженной



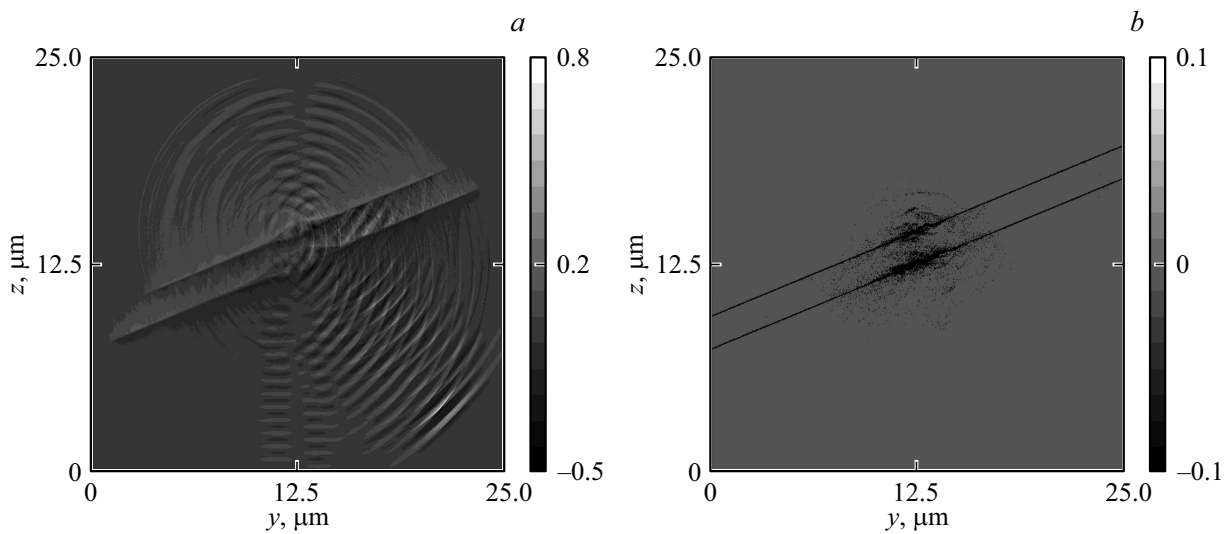
**Рис. 7.** (а) Аттоимпульсы (квадрат напряженности электрического поля) от пяти последовательно расположенных тонких мишеней. Аттоимпульс от первой мишени выделен на общем фоне красным цветом. Синим цветом показано расположение пяти мишеней. (б) Аттоимпульс первой из мишеней в увеличенном пространственном разрешении. Пространственная длительность (красный горизонтальный отрезок) отраженного аттоимпульса  $\sim 40$  nm, прошедшего  $\sim 70$  nm. Шкала ординат — в единицах амплитуды падающего импульса.



**Рис. 8.** 2D-распределение электрического поля аттоимпульса. Шкала в единицах падающего лазерного поля. На вкладке приведено 1D-сечение интенсивности по оси лазерного пучка ( $y = 12.5 \mu\text{m}$ ). Параметры 2D-расчета  $a_0 = 9$ ,  $\epsilon_0 = 4$ ,  $d_L = 3.2 \mu\text{m}$ ,  $\tau_L = 33$  fs. Мишень расположена при  $z = 12.5 \mu\text{m}$ .

и прошедшей волн для пяти тонких мишеней (обозначены цифрами) и отдельно красным цветом в поле отраженного импульса выделен вклад первой мишени.

Первые отраженные каждой мишенью периоды (обозначены соответствующими мишеням цифрами) образуют аттоимпульсы и описываются приведенной выше



**Рис. 9.** (а) 2D-распределение электрического поля аттоимпульса от двух наклонных (угол  $22.5^\circ$ ) мишеней, разнесенных на  $2\ \mu\text{m}$ . Шкала в единицах падающего лазерного поля. (б) Плотность электронного заряда (шкала в единицах критической плотности) на момент времени 26 fs от начала лазерного импульса 33 fs. Остальные параметры 2D-расчета приведены на рис. 8.

моделью тонкого слоя. Коэффициент отражения каждой мишенью последующих периодов лазерного импульса падает во времени (из-за разлета электронной плотности), поэтому „хвост“ импульса каждой из мишеней отражается слабо. Однако использование нескольких мишеней позволяет задействовать всю длительность импульса и повышает итоговый коэффициент конверсии. Из-за поглощения и отражения лазерного импульса каждой мишенью амплитуда аттоимпульсов падает с увеличением номера мишени. В результате пронумерованные соответственно мишеням аттоимпульсы на рис. 7,а выстраиваются в ряд по уменьшению амплитуды. Рисунок 7,а показывает, что амплитудный фильтр (не изменяющий длительность импульсов) позволит отделить несколько (соответственно уровню отсечки) аттоимпульсов от всего отраженного цуга. Пространственная длительность отдельного аттоимпульса на рис. 7,а составляет  $\sim 40\ \text{nm}$ , что показано на рис. 7,б, который является фрагментом рис. 7,а с увеличенным разрешением. Если отрезать амплитуды аттоимпульсов на уровне 0.5 лазерной амплитуды, то коэффициент конверсии в энергию аттоимпульсов для пяти мишеней на рис. 7,а достигает  $\sim 0.01$ , что на порядок превышает конверсию одиночной мишени. На рис. 8 показано 2D-распределение поля аттоимпульса, отраженного от одиночной мишени (выделен красным цветом на рис. 7,а). Двумерным эффектом (отсутствующим в представленном выше рассмотрении) является искривление фронта аттоимпульса и появление угловой расходимости. В формуле (12) найдено смещение  $X(\tau)$  электронной плотности мишени при колебаниях под действием силы пондеромоторного давления. В размерных единицах амплитуда смещения  $\Delta x = c\beta(a_0, \varepsilon_0)/2\omega = \beta(a_0, \varepsilon_0)\lambda_L/4\pi$ . Соответственно характерный угол  $\theta_{\text{атто}}$  расходимости

аттоимпульса составит

$$\theta_{\text{атто}} \approx \arctg(\beta(a_0, \varepsilon_0)\lambda_L/2\pi d_L). \quad (26)$$

Приведенная оценка справедлива для плоского фронта падающего на мишень лазерного импульса (положение мишени в точном фокусе оптической системы). Кривизна фронта падающего импульса добавляется к оценке (26) и в зависимости от знака будет увеличивать или уменьшать расходимость. Для экспериментального исследования аттоимпульса отражение назад в оптическую систему лазера неудобно, и целесообразно направить аттоимпульс по другим направлениям. На рис. 9,а показано, что небольшой наклон мишени слабо влияет на параметры аттоимпульса, но позволяет перенаправить его в другие углы. Для повышения коэффициента конверсии на рис. 9,а рассматривалась генерация аттоимпульса от двух наклонных (угол наклона  $22.5^\circ$ ) мишеней, разнесенных на дистанцию  $2\ \mu\text{m}$ . Видно, что при этом образуются два „параллельных“ аттоимпульса. Таким образом, применяя несколько мишеней, расположенных под разными углами, можно разделять аттоимпульс на отдельные, сдвинутые на заданные временные интервалы части и направлять эти части в другие углы. Дифракция излучения в направлениях, отличные от зеркального, на рис. 9,а (сферические волны) связана с краевыми эффектами на границах лазерного пятна. На рис. 9,б приведено распределение плотности электронного заряда (шкала в единицах критической плотности) на момент времени 26 fs от начала лазерного импульса 33 fs. На краях лазерного пятна видна локальная кривизна и модуляция электронной плотности, приводящая на рис. 9,а к рассеянию волн в направлениях, отличные от зеркального. Отметим, что 2D PIC-расчет коэффициента конверсии в аттоимпульс в сравнении с 1D PIC-расчетом

был выполнен в работе [9]. Было показано, что двумерные эффекты не меняют значений параметров мишени и лазерного импульса, оптимальных для максимальной конверсии, при диаметре лазерного импульса в несколько микрометров.

## Выводы

Исследован спектр когерентного вторичного излучения (цуг аттоимпульсов), возникающего при взаимодействии лазерного импульса релятивистской интенсивности с тонкой (порядка толщины скин-слоя) твердотельной мишенью. Рассмотрено как отражённое, так и прошедшее сквозь мишень вторичное излучение, включая низкие (единицы лазерной частоты) гармоники. Показано, что вторичное излучение генерируется релятивистскими электронами, двигающимися под действием поперечного поля (падающий и отраженный лазерный импульсы) и продольного поля ионного остова тонкой мишени, имеющего вид эффективной потенциальной ямы для электронов. При безразмерной амплитуде  $a_0 > 1$  лазерного поля и безразмерной толщине  $\varepsilon_0 \approx 0.7a_0$  мишени (частично прозрачная мишень) происходит совпадение частот (резонанс) колебаний электрона под действием осциллирующего (с частотой  $2\omega_L$ ) пондеромоторного давления лазерного импульса и нелинейных колебаний релятивистских электронов в потенциальной яме ионного остова тонкой мишени. Случай резонанса является оптимальным для генерации вторичного излучения максимальной интенсивности с максимальной энергией рентгеновского кванта и соответственно с минимальной длительностью аттоимпульса. Эффективность генерации аттоимпульса в условиях резонанса сопоставима и превосходит таковую для газовых мишеней [20]. В предыдущих работах [8,18] генерация аттоимпульсов твердотельными мишенями исследовалась в области, далекой от резонанса, так как рассматривались непрозрачные мишени большой (по сравнению со скин-слоем) толщины.

Вторичное (отраженное и прошедшее) излучение содержит узкие и высокие пики (собственно аттоимпульсы) и более плавную часть — подложку. Аттоимпульсы могут быть отделены от подложки с помощью амплитудного фильтра (аналогично плазменному зеркалу, увеличивающему контраст). В области резонанса в настоящей работе получена формула для оптимальной толщины мишени как функции падающей интенсивности и скейлинговая формула коэффициента конверсии энергии лазерного импульса в энергию аттоимпульсов. Коэффициент конверсии в аттоимпульсы в настоящей работе определен как отношение площади спектра излучения аттоимпульса (прямоугольной формы с шириной спектра  $\sim \tau_a^{-1}$ ) к площади полного спектра излучения. Такое определение отлично от коэффициента конверсии в [7], определенного как отношение энергии в степенном „хвосте“ ( $\omega > \tau_a^{-1}$ ) спектра вторичного излучения к

энергии лазерного импульса. Однако коэффициент [7] определяет только относительную интенсивность высокочастотных гармоник спектра, которые не обязательно складываются в аттоимпульс в пространственно-временном представлении. Наше определение коэффициента конверсии позволяет более точно, чем в [7,8], найти коэффициент конверсии лазерного импульса в цуг аттоимпульсов заданной длительности. Определён максимальный коэффициент конверсии одиночной мишени ( $\sim 10^{-3}$ ) и показана возможность его увеличения до  $\sim 0.1$  с помощью нескольких последовательно расположенных мишеней. Показано, что в оптимальном случае коэффициент конверсии в аттоимпульсы, распространяющиеся по направлению падающего излучения, меньше, чем в аттоимпульсы зеркального направления, что связано с асимметрией (вперёд-назад) колебаний электронов мишени в поле лазерного импульса и ионного остова. Для контроля аналитических вычислений проведены 1D и 2D PIC-моделирование спектров аттоимпульса и значений коэффициента конверсии, подтверждающие количественные закономерности рассмотренной модели.

## Конфликт интересов

Авторы заявляют, что у них нет конфликта интересов.

## Список литературы

- [1] G. Sansone, L. Poletto, M. Nisoli. *Nat. Photonics*, **5**, 655 (2011).
- [2] F. Krausz, M. Ivanov. *Rev. Mod. Phys.*, **81**, 163 (2009). DOI: 10.1103/RevModPhys.81.163
- [3] В.Л. Гинзбург, В.Н. Цытович. *Переходное излучение и переходное рассеяние* (Наука, М., 1984) 360 с.
- [4] B. Dromey, S. Rykovanov, M. Yeung, R. Hörlein, D. Jung, D.C. Gautier, T. Dzelzainis, D. Kiefer, S. Palaniypan, R. Shah, J. Schreiber, H. Ruhl, J.C. Fernandez, C.L. Lewis S., M. Zepf, B.M. Hegelich. *Nature Phys.*, **8**, 804 (2012). DOI: 10.1063/1.5004641
- [5] T. Baeva, S. Gordienko, A. Pukhov. *Phys. Rev. E*, **74**, 046404 (2006). DOI: 10.1103/PhysRevE.74.046404
- [6] A.A. Andreev, S. Steinke, T. Sokollik, M. Schnürer, S.T. Avetsyan, P.V. Nickles, K.Yu. Platonov. *Phys. of Plasmas*, **16**, 013103 (2009). DOI: 10.1063/1.3054528
- [7] D. van der Brügge, A. Pukhov. *Theory of Attosecond Pulses from Relativistic Surface Plasmas*. Institut für theoretische Physik, Heinrich-Heine-Universität Düsseldorf. arXiv:1111.4133 (2011).
- [8] D. van der Brügge, A. Pukhov. *Phys. of Plasmas*, **17**, 033110 (2010). DOI: 10.1063/1.3353050
- [9] Ю.М. Михайлова, В.Т. Платоненко, С.Г. Рыкованов. *Письма в ЖЭТФ*, **81**, 703 (2005).
- [10] X. Xu, B. Qiao, T. Yu, Y. Yin, H. Zhuo, K. Liu, D. Xie, D. Zou, W. Wang. *New J. Phys.*, **21**, 103013 (2019). DOI: 10.1063/1.5118805
- [11] M.R. Edwards, J.F. Nathaniel, J.M. Mikhailova. *Phys. Plasmas*, **28**, 013105 (2021). DOI: 10.1063/5.0031459
- [12] R. Lichters, Vehn J. Meyerter, A. Pukhov. *Phys. Plasmas*, **3**, 3425 (1996). DOI: 10.1063/1.871619

- [13] V.A. Vshivkov, N.M. Naumova, F. Pegoraro, S.V. Bulanov. *Phys. Plasmas*, **5**, 2727 (1998). DOI: 10.1063/1.872961
- [14] V.V. Kulagin, V.A. Cherepenin, H. Suk. *Phys. Plasmas*, **11**, 5239 (2004). DOI: 10.1063/1.1798471
- [15] А.А. Андреев, К.Ю. Платонов, В.И. Честнов, А.Е. Петров. *Опт. и спектр.*, **117**, 287 (2014).
- [16] Н.Н. Розанов, М.В. Архипов, Р.М. Архипов. *УФН*, **188**, 1347 (2018). DOI: 10.3367/UFNr.2018.07.038386
- [17] R.E.W. Pfund, R. Lichters, J. Meyer-ter-Vehn. *AIP Conference Proceedings*, **426**, 141 (1998). DOI: 10.1063/1.55199
- [18] M. Yeung, B. Dromey, D. Adams, S. Cousens, R. Hörlein, Y. Nomura, G.D. Tsakiris, M. Zepf. *PRL*, **110**, 165002 (2013). DOI: 10.1103/PhysRevLett.110.165002
- [19] A. Kemp, H. Ruhl. *Phys. of Plasmas*, **12**, 033105 (2005). DOI: 10.1063/1.1856933
- [20] В.В. Стрелков, В.Т. Платоненко, А.Ф. Стержантов, М.Ю. Рябкин. *УФН*, **186**, 449 (2016). DOI: 10.3367/UFNr.2015.12.037670